

Eingabe: Farbmétrisches Drucker-Reflektiv-System FRS06

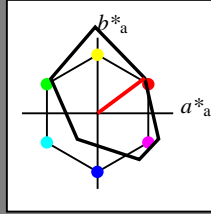
für Buntton $h^* = lab^*h = 37/360 = 0.102$

lab^*tch und lab^*nch

D65: Buntton O

LCH*Ma: 33 78 37

olv*Ma: 1.0 0.0 0.0

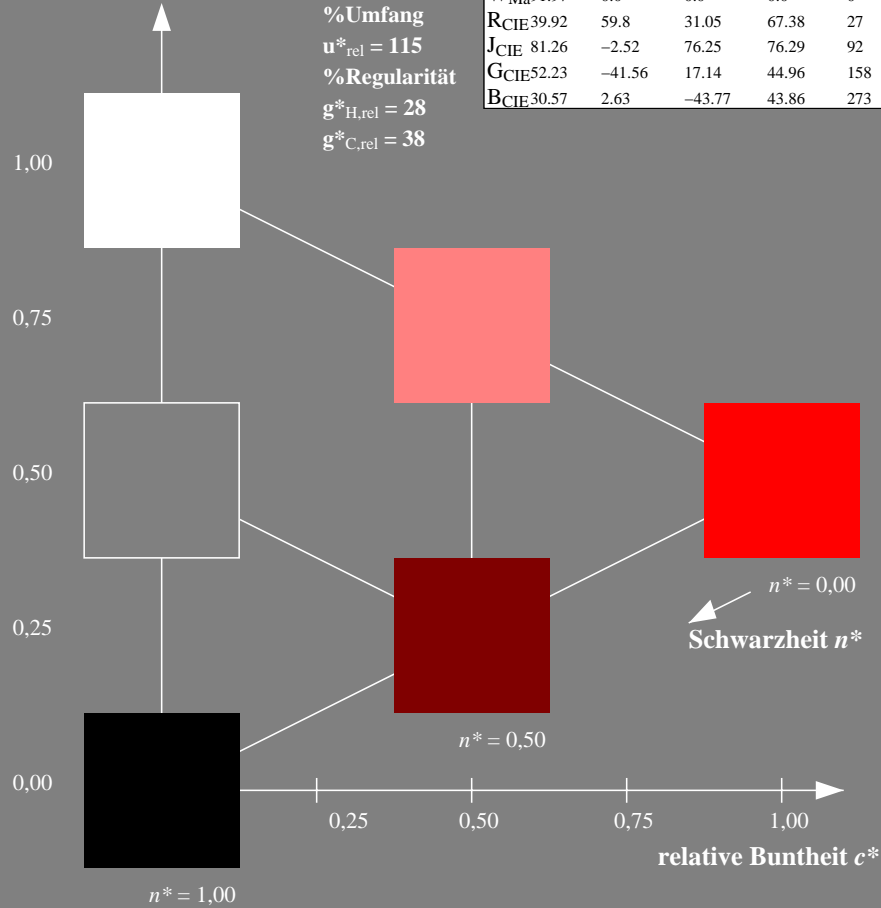


%Umfang
 $u^*_{rel} = 115$
 %Regularität
 $g^*_{H,rel} = 28$
 $g^*_{C,rel} = 38$

FRS06; adaptierte CIELAB-Daten

	$L^*=L^*_a$	a^*_a	b^*_a	$C^*_{ab,a}$	$h^*_{ab,a}$
OMa	32.57	62.32	46.49	77.75	37
YMa	82.73	-3.16	113.99	114.03	92
LMa	39.43	-61.79	45.84	76.95	143
CMa	47.86	-26.79	-34.24	43.49	232
VMa	10.16	55.12	-61.03	82.24	312
MMa	34.5	80.68	-33.92	87.52	337
NMa	6.25	0.0	0.0	0.0	0
WMa	91.97	0.0	0.0	0.0	0
RCIE	39.92	59.8	31.05	67.38	27
JCIE	81.26	-2.52	76.25	76.29	92
GCIE	52.23	-41.56	17.14	44.96	158
BCIE	30.57	2.63	-43.77	43.86	273

Dreiecks-Helligkeit t^*



Ausgabe: Farbmétrisches Drucker-Reflektiv-System FRS06

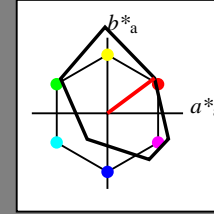
für Buntton $h^* = lab^*h = 37/360 = 0.102$

lab^*tch und lab^*nch

D65: Buntton O

LCH*Ma: 33 78 37

olv*Ma: 1.0 0.0 0.0

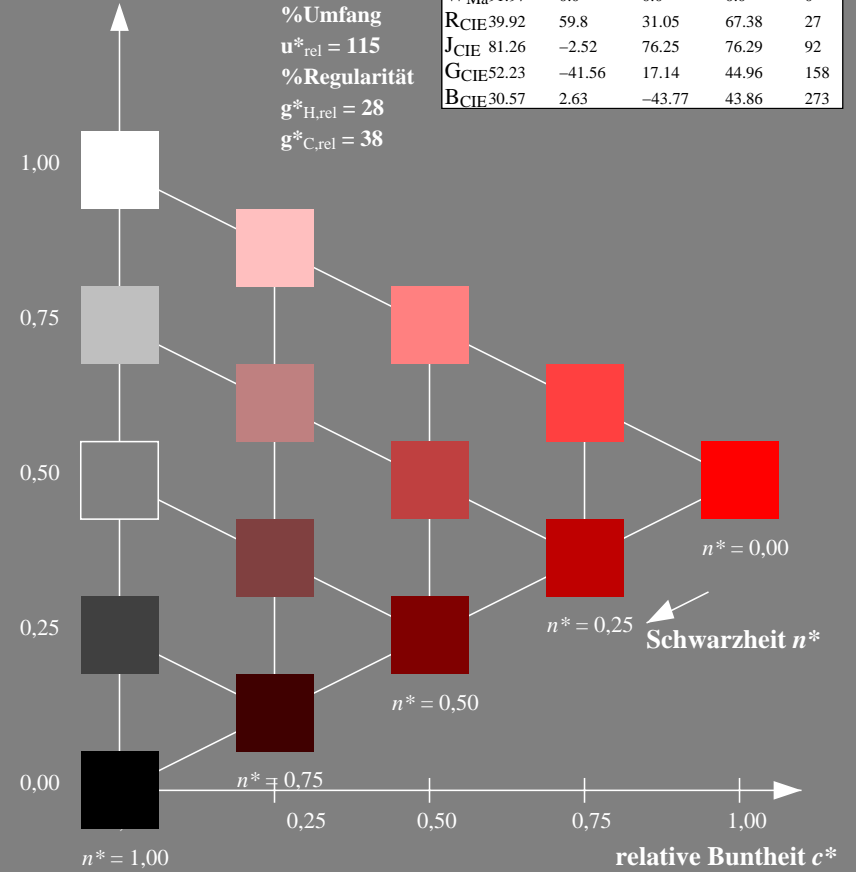


%Umfang
 $u^*_{rel} = 115$
 %Regularität
 $g^*_{H,rel} = 28$
 $g^*_{C,rel} = 38$

FRS06; adaptierte CIELAB-Daten

	$L^*=L^*_a$	a^*_a	b^*_a	$C^*_{ab,a}$	$h^*_{ab,a}$
OMa	32.57	62.32	46.49	77.75	37
YMa	82.73	-3.16	113.99	114.03	92
LMa	39.43	-61.79	45.84	76.95	143
CMa	47.86	-26.79	-34.24	43.49	232
VMa	10.16	55.12	-61.03	82.24	312
MMa	34.5	80.68	-33.92	87.52	337
NMa	6.25	0.0	0.0	0.0	0
WMa	91.97	0.0	0.0	0.0	0
RCIE	39.92	59.8	31.05	67.38	27
JCIE	81.26	-2.52	76.25	76.29	92
GCIE	52.23	-41.56	17.14	44.96	158
BCIE	30.57	2.63	-43.77	43.86	273

Dreiecks-Helligkeit t^*



XG660-7, 3stufige Reihen für konstanten CIELAB Buntton $37/360 = 0.102$ (links)

5stufige Reihen für konstanten CIELAB Buntton $37/360 = 0.102$ (rechts)